

# Diferentes abordagens para problemas de empacotamento

---

Rafael Durbano Lobato  
Ernesto G. Birgin (orientador)

Departamento de Ciência da Computação  
Instituto de Matemática e Estatística  
Universidade de São Paulo

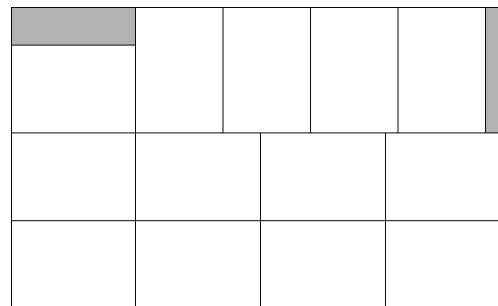
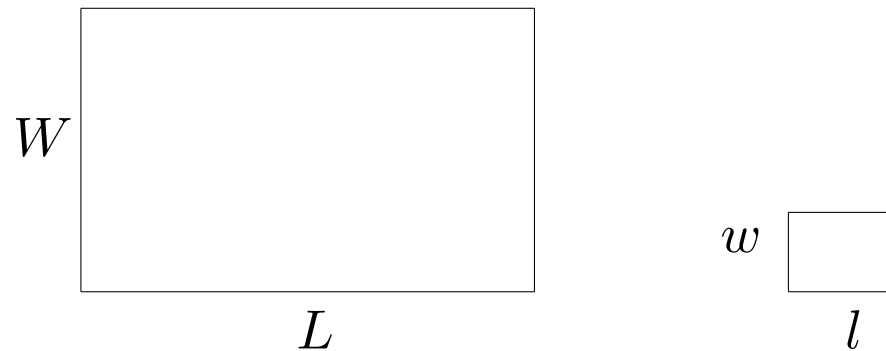
Apoio financeiro: FAPESP

17/11/2006

# O Problema

---

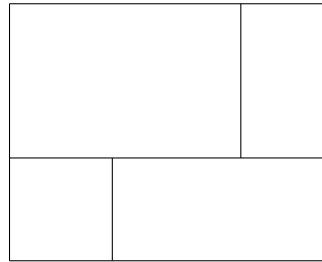
Dados um palete de comprimento  $L$  e largura  $W$  e caixas de comprimento  $l$  e largura  $w$  ( $L, W, l, w \in \mathbb{Z}$ ), determinar um empacotamento ortogonal com a maior quantidade possível de caixas, sem que elas se sobreponham.



# Definições

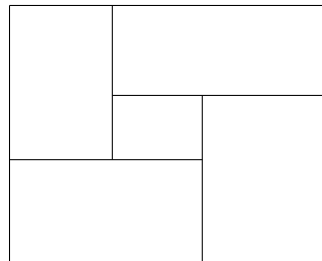
---

**Corte guilhotinado:** produz dois novos retângulos quando aplicado em um retângulo.



Padrão guilhotinado

**Corte não-guilhotinado de primeira ordem:** quando aplicado em um retângulo, produz cinco novos retângulos arranjados de modo a não formar um padrão guilhotinado.



Padrão não-guilhotinado de primeira ordem

# Algoritmo de cortes não-guilhotinados de primeira ordem

---

Primeiramente, são calculados os limitantes inferior ( $z_{lb}$ ) e superior ( $z_{ub}$ ) para o número de caixas que podem ser colocadas no palete.

$$z_{lb} = \max \left\{ \left\lfloor \frac{L}{l} \right\rfloor \left\lfloor \frac{W}{w} \right\rfloor, \left\lfloor \frac{L}{w} \right\rfloor \left\lfloor \frac{W}{l} \right\rfloor \right\}$$
$$z_{ub} = \left\lfloor \frac{LW}{lw} \right\rfloor$$

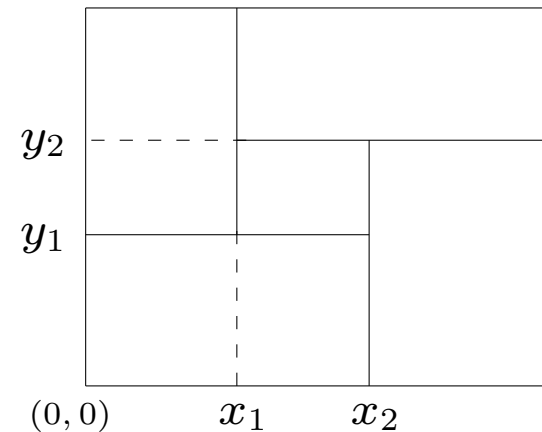
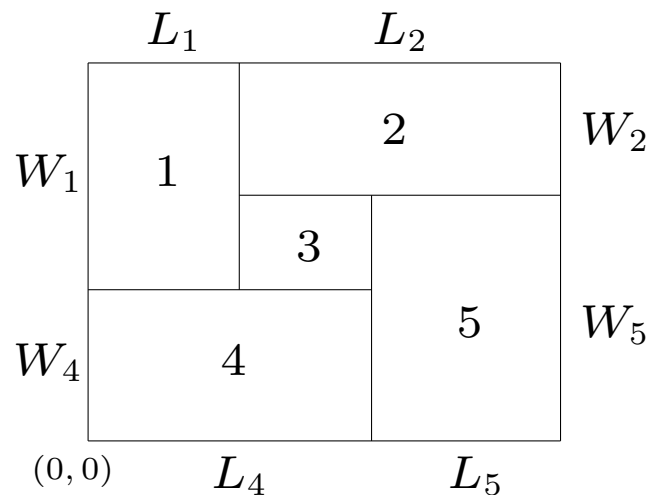
O limitante inferior é dado pelo melhor empacotamento homogêneo.



Empacotamentos homogêneos vertical e horizontal

# Algoritmo de cortes não-guilhotinados de primeira ordem

Se  $z_{lb} = z_{ub}$ , a solução ótima foi encontrada e o método devolve  $z_{lb}$ . Senão, o palete  $(L, W)$  é dividido em, no máximo, cinco regiões, através de cortes guilhotinados e não-guilhotinados de primeira ordem, e o algoritmo é aplicado recursivamente em cada um deles.



# Algoritmo de cortes não-guilhotinados de primeira ordem

---

Em quais pontos devemos realizar as divisões do palete?

Sejam  $(x, y)$  as coordenadas de algum vértice de uma caixa colocada no palete. Então  $x$  e  $y$  podem tomar valores nos conjuntos  $\{x \mid 0 \leq x \leq L\}$  e  $\{y \mid 0 \leq y \leq W\}$ , respectivamente.

# Algoritmo de cortes não-guilhotinados de primeira ordem

---

Em quais pontos devemos realizar as divisões do palete?

Sejam  $(x, y)$  as coordenadas de algum vértice de uma caixa colocada no palete. Então  $x$  e  $y$  podem tomar valores nos conjuntos  $\{x \mid 0 \leq x \leq L\}$  e  $\{y \mid 0 \leq y \leq W\}$ , respectivamente.

Porém, eles podem ser reduzidos aos seguintes conjuntos:

$$S_L = \{x \mid x = rl + sw, x \leq L, r, s \in \mathbb{Z}_+\}$$
$$S_W = \{y \mid y = tw + ul, y \leq W, t, u \in \mathbb{Z}_+\}$$

# Algoritmo de cortes não-guilhotinados de primeira ordem

---

É possível reduzi-los ainda mais, considerando os conjuntos de *raster points*

$$\begin{aligned}\tilde{S}_L &= \{\langle L - x \rangle_{S_L} \mid x \in S_L\} \text{ e} \\ \tilde{S}_W &= \{\langle L - y \rangle_{S_W} \mid y \in S_W\},\end{aligned}$$

onde,

$$\begin{aligned}\langle x' \rangle_{S_L} &= \max \{x \in S_L \mid x \leq x'\} \text{ e} \\ \langle y' \rangle_{S_W} &= \max \{y \in S_W \mid y \leq y'\}.\end{aligned}$$

# Algoritmo de cortes não-guilhotinados de primeira ordem

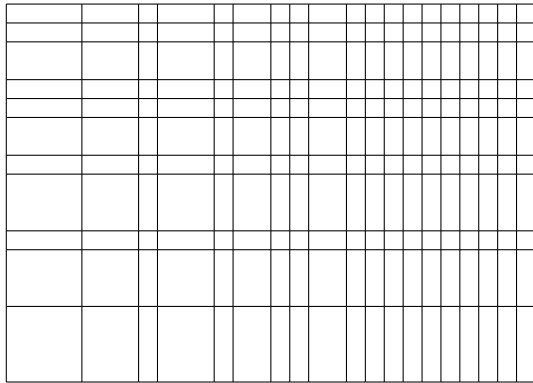
Para o problema  $(L, W, l, w) = (28, 20, 7, 4)$ , temos:

$$S_L = \{0, 4, 7, 8, 11, 12, 14, 15, 16, 18, 19, 20, 21, 22, 23, 24, 25, 26, 27, 28\},$$

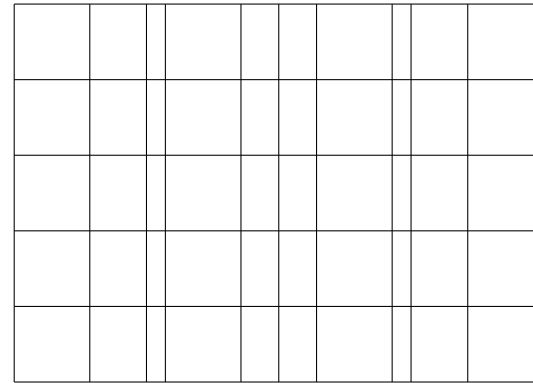
$$\tilde{S}_L = \{0, 4, 7, 8, 12, 14, 16, 20, 21, 24, 28\},$$

$$S_W = \{0, 4, 7, 8, 11, 12, 14, 15, 16, 18, 19, 20\} \text{ e}$$

$$\tilde{S}_W = \{0, 4, 8, 12, 16, 20\}.$$



$S_L \times S_W$



$\tilde{S}_L \times \tilde{S}_W$

# Algoritmo de cortes não-guilhotinados de primeira ordem

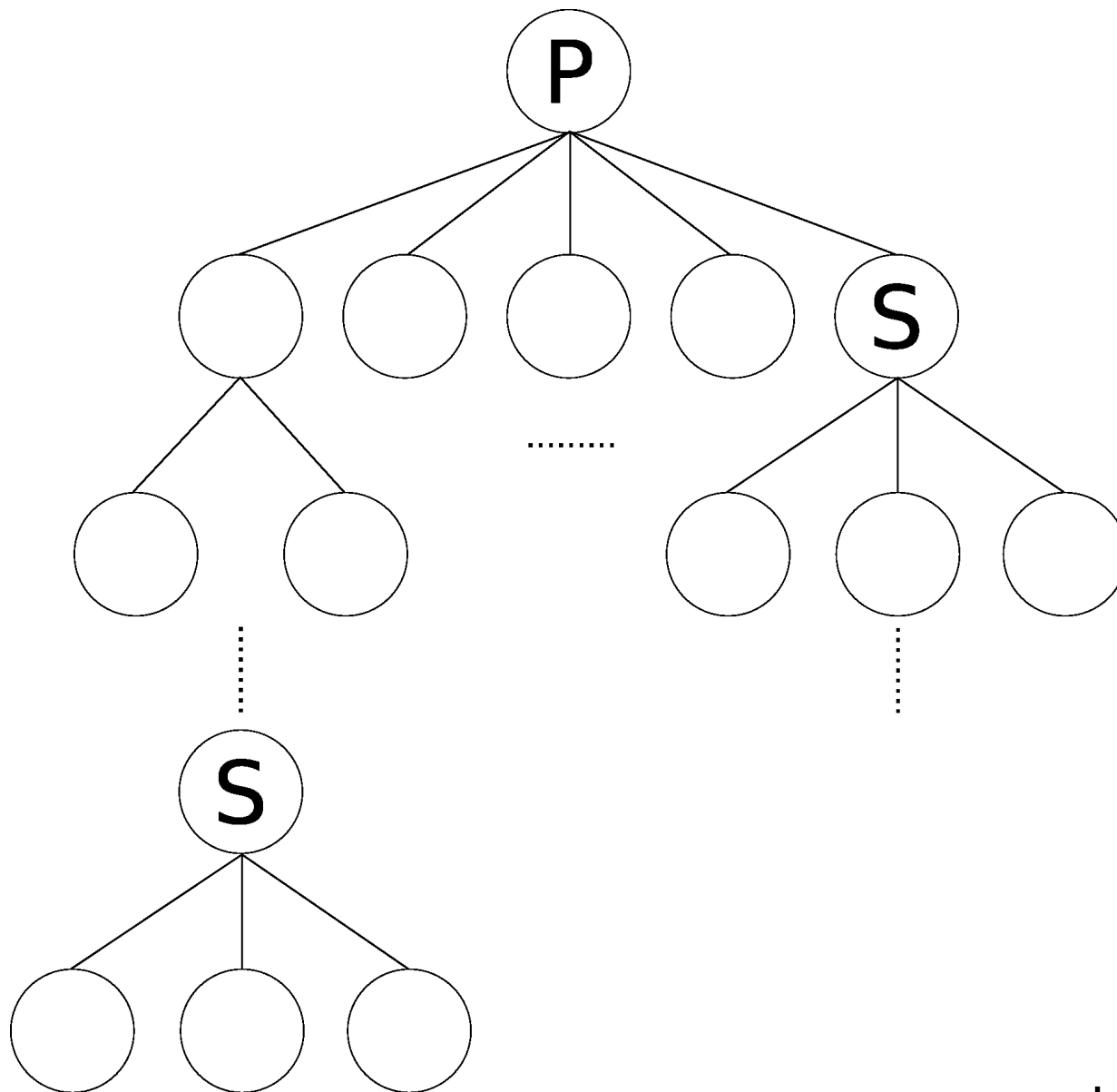
---

Detalhes de implementação:

- Incorporação dos *raster points*;
- Geração apenas dos padrões não simétricos entre si;
- Inclusão do limitante superior de Barnes;
- Tratamento de subproblemas repetidos.

# Algoritmo de cortes não-guilhotinados de primeira ordem

---



Limite

## Experimentos

$N$	Tempo (segundos)		A / B
	Implementação original (A)	Nossa implementação (B)	
3	5238.67	73.08	71.68
4	6665.58	75.73	88.01
5	7814.75	78.54	99.50
6	8619.68	80.38	107.24
7	9144.11	81.29	112.49
8	9449.20	81.56	115.86
9	9659.74	82.55	117.02
10	9711.25	82.91	117.13
$\infty$	9845.40	71.16	138.36

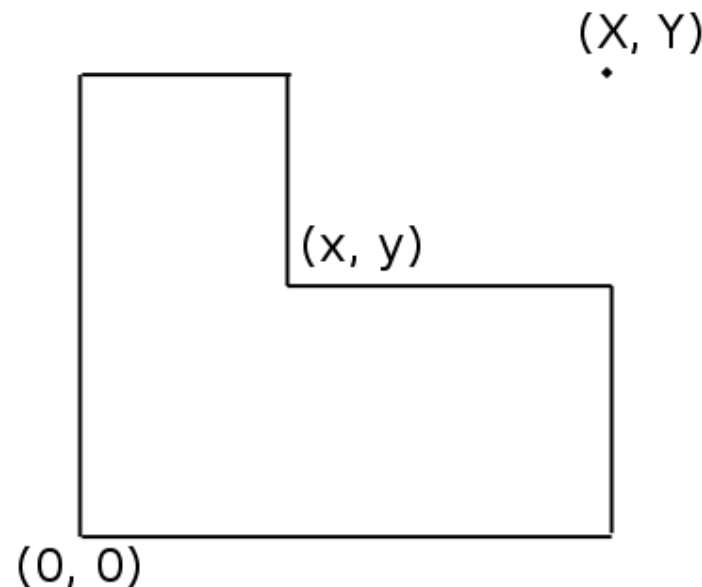
Tabela 1: Tempo gasto, em segundos, para resolver 16938 problemas de *Cover II*. Apenas 16 problemas não foram resolvidos de forma ótima. (AMD Athlon 64 3200+ 2.2 GHz, 1 GB de memória RAM)

# Algoritmo- $L$

---

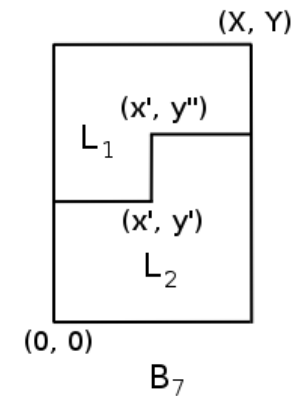
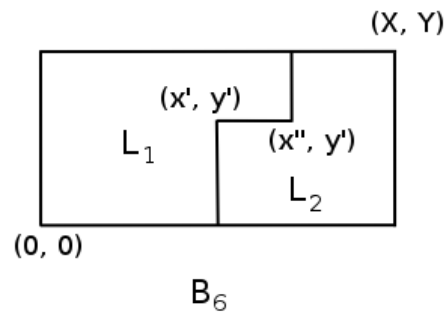
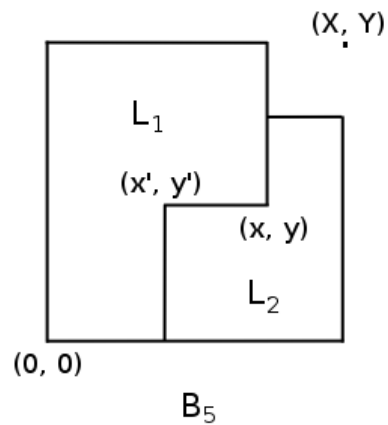
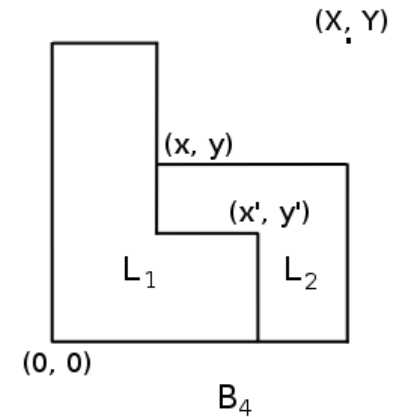
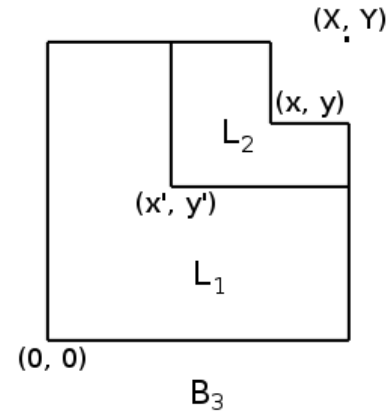
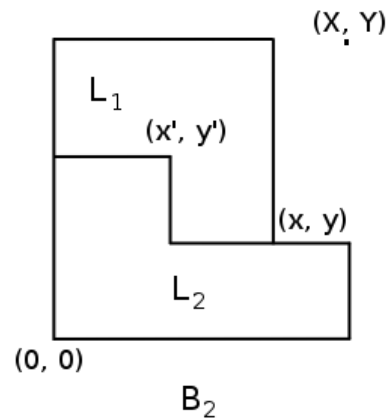
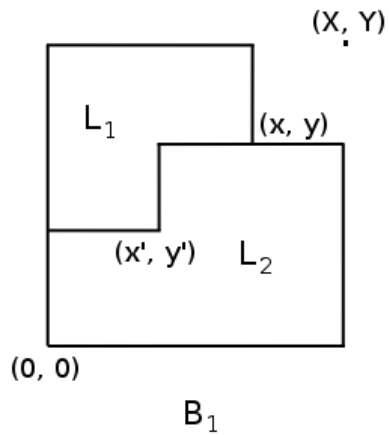
A proposta foi de substituir o algoritmo de particionamento recursivo em cinco regiões por um particionamento recursivo de um retângulo (que chamaremos de  $R$ ) ou de uma peça em forma de  $L$  (que chamaremos de  $L$ ) em duas peças, cada uma delas sendo um  $R$  ou um  $L$ .

Um  $L$  é determinado por quatro inteiros  $(X, Y, x, y)$  e seu posicionamento padrão é definido como o fechamento topológico do retângulo cuja diagonal vai de  $(0, 0)$  até  $(X, Y)$  menos o retângulo que vai de  $(x, y)$  até  $(X, Y)$ , com  $X \geq x$  e  $Y \geq y$ .

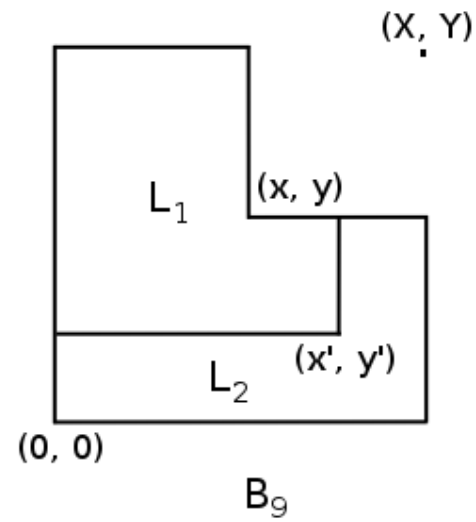
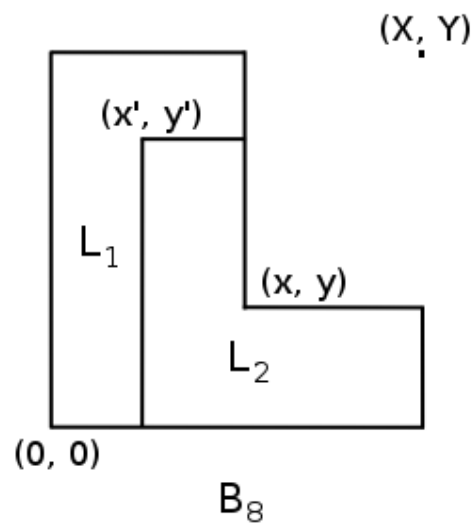


# Algoritmo- $L$

Divisões de  $L$  em dois  $L$ 's ( $B_1, B_2, B_3, B_4$  e  $B_5$ ) e de  $R$  em dois  $L$ 's ( $B_6$  e  $B_7$ ):



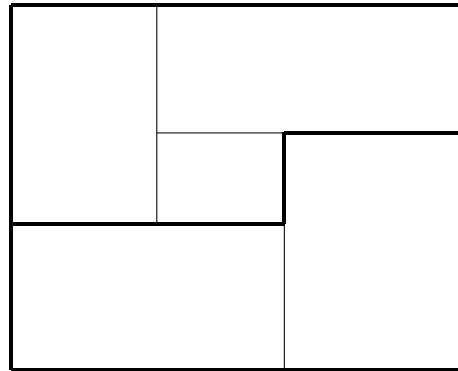
Duas novas divisões ( $B_8$  e  $B_9$ ):



# Algoritmo- $L$

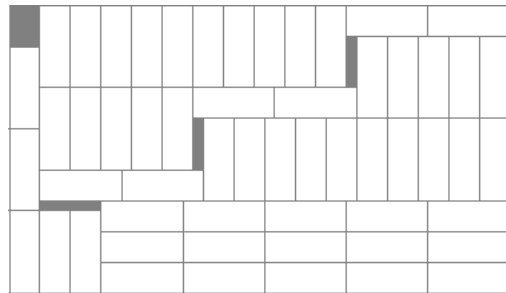
---

O Algoritmo- $L$  é mais geral!

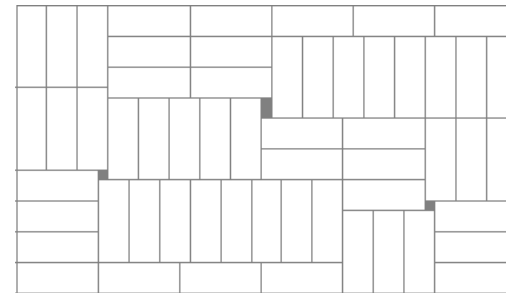


Também produz padrões não-guilhotinados de primeira ordem

Exemplo:  $(L, W, l, w) = (49, 28, 8, 3)$ .



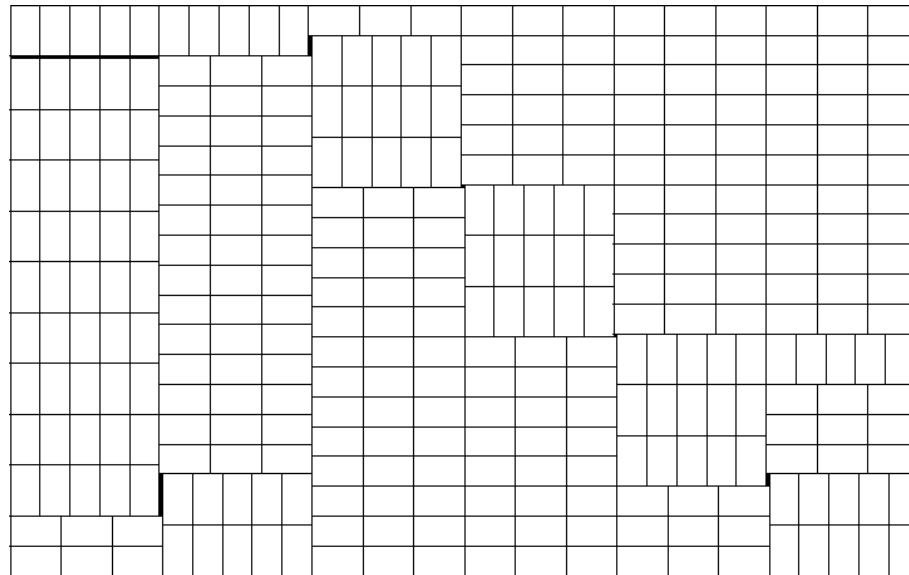
Algoritmo 1: 56 caixas



Algoritmo- $L$ : 57 caixas  
(solução ótima)

Detalhes de implementação:

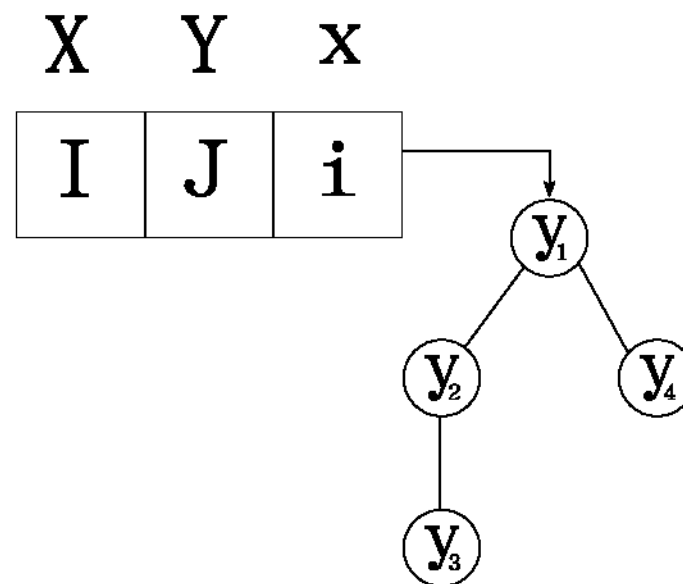
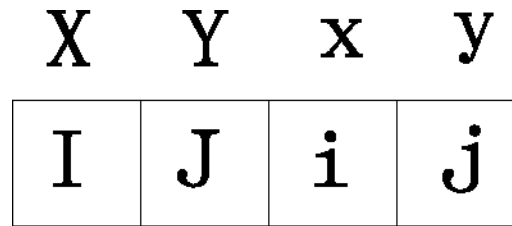
- Introdução de duas novas formas de dividir um  $L$  em dois;
- Utilização dos *raster points*;
- Controle de memória.



Instância (2560, 1610, 143, 84). Solução com 341 caixas.

# Algoritmo- $L$

Controle de memória: alocamos a maior quantidade possível de memória para armazenar as informações dos subproblemas.



## Experimentos

Conjunto de problemas	Número de problemas	Tempo (segundos)				
		Total	Média	Desvio padrão	Mín.	Máx.
<i>16 hard</i>	16	133.59	8.34	5.61	0.49	19.63
<i>Cover II</i>	16938	83298.61	4.91	6.90	0.00	56.91

Tabela 2: Implementação com *raster points*.

Conjunto de problemas	Número de problemas	Tempo (segundos)				
		Total	Média	Desvio padrão	Mín.	Máx.
<i>16 hard</i>	16	695.34	43.45	41.23	1.20	155.02
<i>Cover II</i>	16938	944231.50	55.74	106.00	0.00	1479.46

Tabela 3: Implementação sem *raster points*.

# Algoritmo 1 × Algoritmo-*L*

---

## Algoritmo 1

- Muito rápido;
- Não encontra a solução ótima de todos os problemas.

## Algoritmo-*L*

- Mais lento;
- Encontra soluções ótimas de alguns problemas que o Algoritmo 1 não é capaz de encontrar.

## Algoritmo 1

- Muito rápido;
- Não encontra a solução ótima de todos os problemas.

## Algoritmo- $L$

- Mais lento;
- Encontra soluções ótimas de alguns problemas que o Algoritmo 1 não é capaz de encontrar.

**Combinação dos dois algoritmos:** Executamos, primeiramente, o Algoritmo 1. Se não for possível comprovar a otimalidade da solução encontrada, rodamos o Algoritmo- $L$ . Além disso, todas as informações dos subproblemas obtidas durante a execução do primeiro algoritmo são aproveitadas pelo segundo.

# Perguntas?

Mais informações podem (poderão) ser encontradas em:

`www.linux.ime.usp.br/~lobato/mac499/`

## Referências

- [1] E. G. Birgin, R. Morabito and F. H. Nishihara. A note on an  $L$ -approach for solving the manufacturer's pallet loading problem. *Journal of the Operational Research Society*, 56:1448–1451, 2005.
- [2] L. Lins, S. Lins e R. Morabito. An  $L$ -approach for packing  $(\ell, w)$ -rectangles into rectangular and  $L$ -shaped pieces. *Journal of the Operational Research Society*, 54(7):777–789, 2003.
- [3] R. Morabito e S. Morales. A simple and effective recursive procedure for the manufacturer's pallet loading problem. *Journal of the Operational Research Society*, 49(8):819–828, 1998.
- [4] G. Scheithauer e J. Terno. The G4-Heuristic for the Pallet Loading Problem. *Journal of the Operational Research Society*, 47(4):511–522, 1996.